

ساخت و بررسی خواص ترمولومینسانس نانوذرات LiF آلائیده شده با ناخالصی

دیسپروسیوم Dy

احسان صادقی^{*}(۱) - احمد رمضانی مقدم^(۱) - محمد تقی صمدی خوزانی - مصطفی زاهدی فرد

مقداد خلیفه شوشتاری

دانشگاه کاشان ، دانشکده فیزیک ، گروه هسته‌ای

دانشگاه کاشان ، پژوهشکده علوم و فناوری‌های نانو

چکیده:

طی این تحقیق نانو ذرات LiF آلائیده با ناخالصی دیسپروسیوم برای اولین بار به روش همرسویی ساخته شد. تشکیل بلور، ساختار مورفولوژی و اندازه این نانو ذرات توسط دستگاه پراکنده‌گی اشعه X و میکروسکوپ الکترونی رویشی مشخص شد. خصوصیات ترمولومینسانس نمونه ساخته شده بررسی شد. نمودار ترمولومینسانس این نمونه دارای یک قله نسبتاً پهن می‌باشد. درصد ناخالصی بهینه در بدست آوردن بیشترین حساسیت ترمولومینسانس این نمونه $0.3\text{ mol}\%$ بادست آمد.

کلمات کلیدی: نانوذره، دزیمتری، ترمولومینسانس، همرسویی، LiF

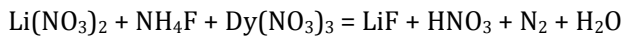
مقدمه :

دزیمترها موادی هستند که برای اندازه گیری تابش جذب شده از آن‌ها استفاده می‌شود. دزیمتری انواع پرتوهای یونساز از مهمترین کاربردهای پدیده ترمولومینسانس می‌باشد. سطح زیر منحنی ترمولومینسانس در محدوده مشخصی از پرتو جذب شده (بسته به نوع دزیمتر ترمولومینسانس استفاده شده) با میزان دز جذب شده رابطه خطی دارد. در سال ۱۹۶۱ کامرون و همکارانش، در خصوص ماده‌ی لیتیوم فلوراید و با افزایش ناخالصی‌های منیزیم و تیتانیوم به عنوان فعال‌ساز موفق به ساخت دزیمتری شدند که امروزه تحت عنوان TLD-100 مورد استفاده قرار می‌گیرد. با گسترش استفاده از مواد ترمولومینسانس برای دزیمتری پرتوهای مختلف، دو نمونه‌ی دیگر از ترکیبات لیتیوم فلوراید تحت عنوان TLD-600 و TLD-700 برای اندازه گیری همزمان دز پرتوهای گاما، بتا و نوترون عرضه گردید. لیتیوم فلوراید از آن جهت که عدد اتمی آن به عدد اتمی مؤثر بدن نزدیک است از اهمیت ویژه‌ای در دزیمتری فردی برخوردار است. از طرفی اخیراً مواد با ساختار نانو مورد توجه بسیاری از محققان جهان قرار گرفته؛ این توجه ناشی از خواص منحصر بفرد و توانائی بالقوه‌ی این مواد در چرخه‌ی فناوری‌های جدید می‌باشد. تاکنون گروه‌های تحقیقاتی زیادی اقدام به ساخت نانو ذرات مختلف نموده‌اند و خواص ساختاری، الکتریکی، اپتیکی، مغناطیسی و

دزیمتری آن‌ها را بررسی کردند [۱-۴]. با رفتن به سمت ابعاد نانو می‌توان بلورهای شبیه پایدار تشکیل داد و از طرفی تقویت خواص اپتیکی، الکترونیکی و ساختاری بلور را مشاهده کرد [۵]. تک بلور لیتیوم فلوراید که با فعالساز مناسب آلتیده شده باشد، فسفری با حساسیت بالاست که در موضوعات متفاوتی چون لیزر مرکز رنگ، تابش‌های دزیمتری و..... کاربردهایی متعدد دارد. لیتیم فلوراید با ناخالصی‌های متعدد مورد مطالعه ترمولومینسانس قرار گرفته است [۶ و ۷]. از جمله نمونه توده‌ای LiF:Dy نیز توسط کومار و همکارانش در سال ۲۰۱۶ ساخته شده است که توانایی این ماده جهت استفاده در مطالعات ترمولومینسانس را نشان می‌دهد [۸]. در این پژوهش پس از ساخت نانو ذرات لیتیوم فلوراید آلتیده شده با دیسپروسیوم، حساسیت و خواص TL این نانوذرات بررسی شد.

روش کار :

برای ساخت نانوذرات لیتیوم فلوراید با ناخالصی دیسپروسیوم به روش همرسویی از واکنش زیر استفاده شد:



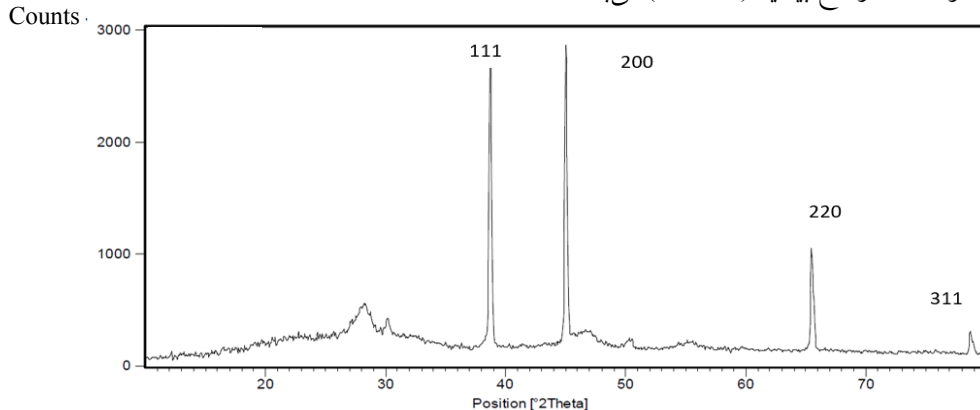
مواد استفاده شده در این پژوهش: لیتیوم نیترات ($\text{Li}(\text{NO}_3)_2$), دیسپرسیوم نیترات ($\text{Dy}(\text{NO}_3)_3$), آمونیاک فلوراید (NH_4F), بrij-35، استون ($\text{CH}_3(\text{CO})_2\text{CO}$) و آب دیونیزه بود که همگی از خلوص بالایی برخوردار بوده و خالص‌سازی اضافه انجام نگرفت. ابتدا هر کدام از مواد به حلالی از استون و آب دیونیزه اضافه گردید و به مدت بیست دقیقه هم خورد. حجم حلال در مورد لیتیوم نیترات، آمونیوم فلوراید و بrij-20 سی‌سی انتخاب شد و در مورد دیسپرسیوم نیترات ۵ سی‌سی. با توجه به اثر بسزای نسبت استون به آب در دو مقوله (حساسیت TL نانوذرات) و (اندازه نانوذرات)، این نسبت پس از بهینه‌سازی، ۱:۱ بدست آمد. پس از این مرحله، محلول‌های تهیه شده بترتیب زیر به یکدیگر اضافه شد:

ابتدا محلول حاوی بریج به محلول حاوی لیتیوم نیترات اضافه گردید و بمدت پنج دقیقه با استفاده از همزن مغناطیسی مخلوط شدند. پس از آن محلول حاوی دیسپروسیوم به آن اضافه گردید و سپس محلول حاوی آمونیوم فلوراید بصورت قطره قطره به آن اضافه شد. در مرحله‌ی بعد رسوب نانوذرات سه مرتبه با استون شیستشو داده شد و در دمای ۹۰ درجه سانتگراد بمدت ۲ ساعت داخل آون خشک گردید.

تشکیل این نانوذرات با استفاده از نتایج طیف XRD، که توسط دستگاه Panalytical مدل X'PertPro با $\lambda=0.154 \text{ nm}$ تصویر برداری گردید، تایید شد. این طیف در شکل ۱ مشاهده می‌شود. طیف بدست آمده با طیف مرجع به شماره کارت LiF-04-0857 هم خوان که ساختاری مکعبی را برای شبکه بلوری نمونه ساخته شده نشان می‌دهد. در ناحیه 2θ از 0° تا حدود 80° قله‌های موجود در این طیف عبارتند از (۱۱۱)، (۲۰۰)، (۳۱۱) و (۲۲۰) که به ترتیب در مقادیر $2\theta = 39^\circ, 45^\circ, 66^\circ$ و 79° قرار گرفته‌اند. اندازه‌ی تقریبی نانو بلور ساخته شده با استفاده از رابطه‌ی شرط حدود 30 نانومتر تخمین زده شد:

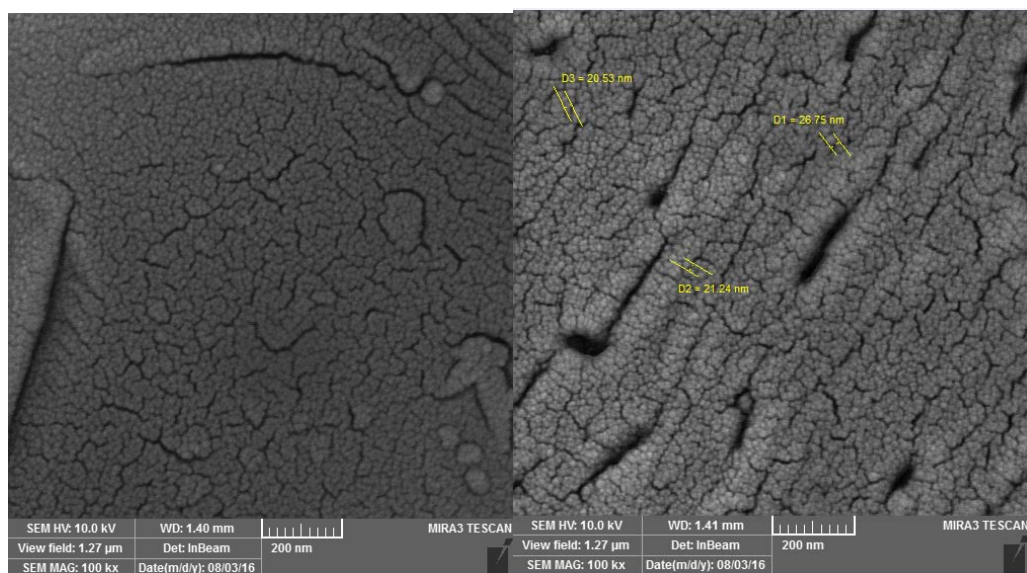
$$D \cos \theta = k \lambda / \beta$$

که در آن D معرف اندازه‌ی بلور نانوذرات، K ثابت شکل (تقریباً برابر 0.9)، λ طول موج اشعه‌ی X و β پهنه‌ی قله در نصف ارتفاع بیشینه (FWHM) می‌باشد.



شکل ۱: طیف XRD نانوذرات LiF:Dy

در شکل (۲) (الف و ب) تصویر میکروسکوپ الکترون روبشی (SEM) برای نانوذرات LiF:Dy قبل از بازپخت و بعد از بازپخت مشاهده می‌شود. اندازه ذرات حدود $20-26$ نانومتر است که با نتایج بدست آمده از نتایج XRD هم خوان است.

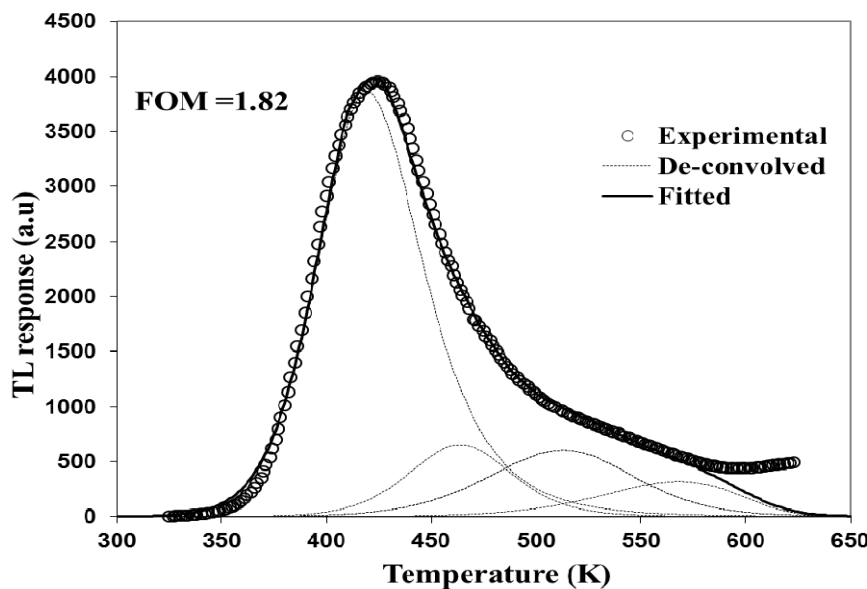


ب: بعد از بازپخت

الف: قبل از بازپخت

شکل ۲: تصویر SEM نانوذرات LiF:Dy

در ادامه نمونه های ساخته شده تحت رژیم گرمایی 500°C درجهی سانتیگراد بمدت ۱۵ دقیقه قرار گرفتند. سپس نانوذرات توسط سامانهی پرتودهندهی گاماصل¹ مجهز به چشمی ^{60}Co ⁶⁰ تحت تابش پرتو گاما با دز 1000 Gy قرار گرفتند. نمونه های پرتودهی شده توسط دستگاه Harshaw TLD Reader مدل ۴۵۰۰ قرائت شدند. قرائت نمونه ها از دمای 50°C تا دمای 350°C درجه سانتیگراد یا تندری دمایی $\text{S}/\text{C} = 1$ انجام گرفت. پاسخ TL آنها ثبت شد. نمودار ترمولومینسانس بدست آمده در شکل ۳ (داده های تجربی که با دایره توخالی مشخص شده اند) مشاهده می شود. یکی از عوامل اصلی در محل قله ترمولومینسانس (دمای بیشیته قله) نوع ناخالصی و تعداد ناخالصی های بکار رفته در نمونه میزبان است. این ناخالصی ها هستند که در ناحیه بین نوار ظرفیت و هدایت ترازهای میانی ایجاد می کنند که انرژی بستگی این ترازها تاثیر به سزاگی در دمای بیشینه های ایجاد شده در نمودار درخشندگی ترمولومینسان بلور میزبان دارد. این عامل می تواند سبب شود که دمای بیشینه در نمونه ساخته شده با نمونه های دیگر از جمله LiF:Mg,Ti متفاوت باشد.



شکل ۳: منحنی تابش ترمولومینسانس نانوذرات LiF:Dy بعد پرتو گاما.

برای تعیین بهترین درصد ناخالصی دیسپروسیم، نانوذرات با نسبت های متفاوت ($0/0.1$ ، $0/0.5$ ، $0/1$)، ($0/0.3$) و ($0/0.5$) مول درصد) از این ناخالصی ساخته شده و حساسیت ترمولومینسانس آنها مورد مقایسه قرار

گرفت و میزان $0/3$ مول در صد به عنوان بهترین میزان ناخالصی انتخاب شد. برای تعیین پارامترهای سیتیک از مدل سیتیک مرتبهی عام استفاده شد. در این مدل از رابطهی زیر برای تعیین پارامترهای سیتیک بهره برده می‌شود. این معادله تابعی از شدت بیشینه I_m و دمای بیشینه T_m است [۹].

$$I(T) = I_m b^{\frac{b}{b-1}} \exp\left(\frac{E(T-T_m)}{kTT_m}\right) \times \left\{ \frac{T^2}{T_m^2} \left(b-1 \right) \left(1 - \frac{2kT}{E} \right) \exp\left(\frac{E(T-T_m)}{kTT_m}\right) + 1 + (b-1) \frac{2kT_m}{E} \right\}^{-\frac{b}{b-1}} \quad (1)$$

در این رابطه b پارامتر سیتیک بین ۱ و ۲ است. E انرژی فعال‌سازی، T دما بر حسب کلوین و k ثابت بولتزمن می‌باشد. برای تعیین میزان انطباق منحنی ترمولومینسانس ثوری و تجربی از رابطه FOM به صورت زیر استفاده شد:

$$FOM = \sum_{j=1}^{J_f} \frac{100|y_j - y_{exp}|}{A} \quad (2)$$

که در آن y_f مربوط به مقادیر اصلی یا داده‌های تجربی است و y_{exp} بهترین مقداریست که از طریق این انطباق به دست می‌آید FOM میزان خطا را در انطباق بین منحنی ثوری و تجربی نشان می‌دهد؛ هرچه این مقدار کمتر باشد تطابق بیشتری بین منحنی ثوری و تجربی وجود دارد. مقدار FOM کمتر از $2/5$ ، انطباق قابل قبول نتایج تجربی و ثوری را در بر دارد [۱۰]. همانطور که مشاهده می‌شود این منحنی دارای چهار قله در دمای‌های 419 ، 464 ، 512 و 568 کلوین می‌باشد. مقدار $FOM = 1/82$ است که نشان می‌دهد برازش با دقت نسبتاً خوبی انجام شده است. جدول ۱ مقدار پارامترهای سیتیک را که از برازش منحنی بدست آمده نشان می‌دهد.

جدول (۱): پارامترهای سیتیک بدست آمده از مدل مرتبهی عام.

peak	b	E (eV)	T _m (K)	I _m (a.u)
1	2.00	0.83	419	3868
2	1.71	0.97	464	652
3	1.49	0.76	512	601
4	1.00	0.82	568	319

بحث و نتیجه گیری :

طیف XRD نانوذرات ساخته شده تشکیل بلورهای با ساختار مکعبی LiF را تایید می کند. اندازهی ذرات توسط رابطهی شرر و با استفاده از تصویر SEM حدود ۳۰ نانومتر بدست می آید. بهترین مقدار ناخالصی، ۰/۳ مول درصد تعیین شد. پارامترهای سینتیک این نانوذرات نیز تعیین شد و ۴ قله همپوش در دماهای ۴۱۹، ۴۶۴، ۴۱۲ و ۵۶۸ کلوین در منحنی ترمولومینسانس آن بدست آمد.

مراجع :

- [1] Salah, N., Alharbi, N. D., & Habib, S. S. (2015). Thermoluminescence of gamma rays irradiated LiF nanocubes doped with different elements. *Journal of Luminescence*, 161, 313-317.
- [2] Zahedifar, M., Sadeghi, E., & Mohebbi, Z. (2012). Synthesis and thermoluminescence characteristics of Mn doped CaF₂ nanoparticles. *Nuclear Instruments and Methods in Physics Research Section B: Beam Interactions with Materials and Atoms*, 274, 162-166.
- [3] Salah, N., Khan, Z. H., & Habib, S. S. (2009). Copper activated LiF nanorods as TLD material for high exposures of gamma-rays. *Nuclear Instruments and Methods in Physics Research Section B: Beam Interactions with Materials and Atoms*, 267(21), 3562-3565.
- [4] Zahedifar, M., Sadeghi, E., Harooni, S., & Almasifard, F. (2015). Thermoluminescence dosimetry features of Dy and Cu doped SrF₂ nanoparticles under gamma irradiation. *Applied Radiation and Isotopes*, 105, 176-181.
- [5] Gong, X., Wu, P., Chan, W. K., & Chen, W. (2000). Effect of γ -ray irradiation on structures and luminescent properties of nanocrystalline MSO₄: xEu³⁺(M= Ca, Sr, Ba; x= 0.001–0.005). *Journal of Physics and Chemistry of Solids*, 61(1), 115-121.
- [6] Kumar, S., Gathania, A. K., Vij, A., Sharma, A. K., Dogra, R., Lochab, S. P., & Kumar, R. (2015). Absorption, photoluminescence and thermoluminescence studies of γ -irradiated pure and Eu doped LiF phosphors. *Adv. Mater. Lett.*, 6, 620-627.
- [7] Pooja, S., Shruti, Aggarwal., Rao, S M., (2012). Thermoluminescence study of rare earth ion (Dy³⁺) doped LiF:Mg crystals grown by EFG technique. *Journal of rare earths*, 30 (7), 641-646.
- [8] Kumar, S., Gathania, A. K., Vij, A., & Kumar, R. (2016). Gamma induced thermoluminescence and color centers study of Dy doped LiF micro-cubes. *Ceramics International*.
- [9] Kitis, G., Gomez-Ros, J. M., & Tuyn, J. W. N. (1998). Thermoluminescence glow-curve deconvolution functions for first, second and general orders of kinetics. *Journal of Physics D: Applied Physics*, 31(19), 2636.
- [10] Balian, H.G., Eddy, N.W. (1977). Figure of merit (FOM), an improved criterion over the normalized chisquared test for assessing goodness-of-fit of gamma-ray spectra peaks, *Nucl.Instr.Meth*,145, 389-393.